

УДК 552.63

ТЕРМОБАРОМЕТРИЯ ОБЫКНОВЕННЫХ ХОНДРИТОВ

© 2006 г. Н. Г. Зиновьева, П. Ю. Плечов, Н. П. Латышев, Л. Б. Грановский

Представлено академиком А.А. Маракушевым 20.10.2005 г.

Поступило 07.11.2005 г.

Обыкновенные хондриты являются наиболее распространенным типом метеоритов. Между тем их генетическая интерпретация, принятая в современной литературе и основанная на рассмотрении независимого друг от друга образования каплевидных силикатных хондр и камаситовой матрицы, находится в явном противоречии с результатами их петрографического и экспериментального изучения [1], свидетельствующего о совместном возникновении хондр и матрицы хондриотов в результате развития железо-силикатной магматической несмесимости, определившей закономерные соотношения их состава (обусловленные правилом Прайора). Для хондриотов типичны магматические структуры с нормальной магматической последовательностью кристаллизации силикатов $\text{Ol} > \text{Px} > \text{Cpx}$, аналогичной магматическим породам планет Земной группы с характерным разделением их на вулканические (I, с ярко выраженной зональностью минеральных зерен) и субвулканические (II, с однородными зернами минералов) стеклосодержащие породы, плутонические (III) со свойственным им формированием полностью раскристаллизованных пород с однородными составами минеральных зерен. Подавляющее большинство обыкновенных хондриотов отличается относительной "свежестью", слабым наложением на них поздних гидротермальных преобразований (в отличие от углистых хондриотов) и поэтому они отчетливо подразделяются по перечисленным магматическим фациям (I, II, III): группа H – Yamato(Y)-82133 I(3), Рагули II(3.8), Оханская II(4); группа L – Y-74417 I(3), Саратов II(4), Fucbin III(6), Бердянск III(6) и группа LL – Y-74160 III(7).

Эти представления расходятся с общепринятыми, связывающими многообразие петрологических типов обыкновенных хондриотов с процессом так называемого термального метаморфизма. Ясность в дискуссию о происхождении обыкновенных хондриотов может внести применение современных геотермометров и геобарометров для оценки PT -параметров формирования различных

их типов. В настоящем сообщении условия образования перечисленных выше хондриотов оцениваются на основании пироксеновых равновесий, данные по которым приводятся в табл. 1.

Пироксеновая термометрия уже применялась для определения температуры образования LL-хондриотов. Для хондриотов, соответствующих фации III, были получены температуры 900–1150°C на основании составов клинопироксенов и на 100–200°C ниже на основании составов ортопироксенов [9], для хондриотов фаций I и II эти отличия еще более существенны. Нами [11] температуры кристаллизации обыкновенных хондриотов всех химических групп определялись по нескольким геотермометрам [2, 6, 13, 14], основанным на распределении Ca, Mg и Fe между ромбическим и моноклинным пироксенами, характеризуемым также на диаграмме рис. 1. Для оценки температуры кристаллизации хондр использовались составы орто- и клинопироксенов, являющихся, наряду с оливинами, наиболее распространенными минералами обыкновенных хондриотов. Представительные анализы существующих пироксенов приведены в табл. 1. Соотношение железистости пироксенов характеризуется диаграммой, рис. 2, причем все использованные для хондриотов данные хорошо согласуются с диапазонами составов природных (земных) существующих пироксенов.

Применяемые модели показали хорошую сходимость с экспериментальными данными ($\pm 50^\circ\text{C}$) и результатами, полученными по Ol-Cpx-геотермометру [8] для природных парагенезисов ($\pm 15^\circ\text{C}$). Разброс значений, определенных для одних и тех же парагенезисов метеоритов по различным моделям, лежит в пределах $\pm 48^\circ\text{C}$. Температуры кристаллизации хондр обыкновенных хондриотов фации III, рассчитанные по разным двупироксеновым геотермометрам [2, 6, 13, 14], варьируют незначительно ($+48^\circ\text{C}$), а полученные по каждому из них (например, по [13], табл. 2) практически постоянны (Бердянск $\pm 7^\circ\text{C}$; Fucbin $\pm 19^\circ\text{C}$; Y-74160 $\pm 52^\circ\text{C}$). В отличие от них хондры обыкновенных хондриотов I и II фаций кристаллизовались в широком диапазоне температур (I – 938–1466°C; II – 890–1479°C, см. табл. 2). Температура кристаллизации хондриотов фации III хорошо согласу-

Московский государственный университет
им. М.В. Ломоносова

Таблица 1. Составы сосуществующих пироксенов (Cpx и Opx) обыкновенных хондритов различных фациальных типов (I, II, III)

Компонент	Y-82133 H (I)		Y-74417 L (I)		Рагули H (II)		Saratov L (II)		Fucbin L (III)		Y-74160 LL (III)	
	Cpx	Opx	Cpx	Opx	Cpx	Opx	Cpx	Opx	Cpx	Opx	Cpx	Opx
SiO ₂	49.17	58.27	52.56	58.97	53.51	55.60	53.85	52.44	54.42	55.64	53.38	53.59
TiO ₂	1.20	0.20	0.53	—	0.60	0.16	0.83	—	0.47	0.07	0.41	0.22
Al ₂ O ₃	8.64	1.08	4.04	0.35	0.80	—	4.05	—	0.71	0.27	0.89	0.36
Cr ₂ O ₃	2.46	1.09	2.24	0.51	0.99	0.18	—	—	1.12	0.37	1.26	0.53
FeO	0.82	2.16	0.50	2.53	3.62	10.72	5.64	14.64	4.52	13.78	6.55	16.43
MnO	0.32	0.00	2.06	—	0.22	0.47	0.45	0.31	0.18	0.38	0.38	0.50
MgO	15.97	36.71	18.59	36.53	17.42	29.86	17.07	31.92	17.01	28.91	16.04	26.14
CaO	20.97	0.49	19.04	0.50	22.39	2.99	16.86	0.14	20.89	0.58	20.38	2.20
Na ₂ O	0.66	—	0.43	0.43	0.45	—	1.24	0.54	0.69	—	0.71	0.03

Примечание. Прочерк содержит содержание ниже предела обнаружения.

ется с температурой формирования равновесных хондритов химической группы LL, оцененных по составу клинопироксена [9], тогда как для хондритов I и II фазий верхняя граница диапазона кристаллизации хондр смешена вверх по сравнению с [9] на 150–200°C.

Полученные температуры кристаллизации различных фазий консолидации обыкновенных

хондритов хорошо коррелируются с температурами кристаллизации земных вулканических и плутонических пород. Стеклосодержащие хондриты (I и II), кристаллизовавшиеся в более высокотемпературных условиях, в широком диапазоне температуры, характеризуются более контрастной полифациальностью по сравнению с хондритами плутонической фации (III), в которых фиксируется более низкая относительно выдержанная температура (табл. 2, рис. 3).

Попытки оценить давление и выявить PT-условия формирования обыкновенных хондритов LL-группы по входению Al в клино- и Ca в ортопироксен предпринимались в работе [9], но не дали надежных результатов вследствие слишко-

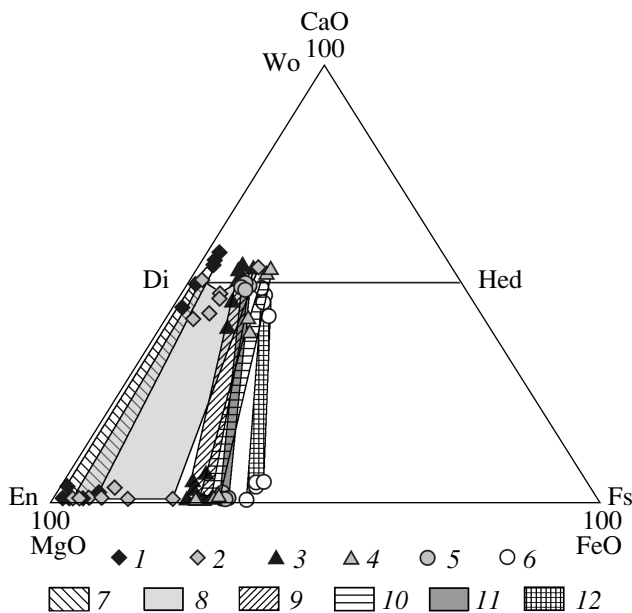


Рис. 1. Вариации состава орто- и клинопироксена различных фазий консолидации H (2, 3), L (2, 4, 5) и LL (6) хондритов: 1, 2 – вулканической, 3, 4 – субвулканической, 5, 6 – плутонической, 7–12 – поля коннод, соединяющих сосуществующие орто- и клинопироксены хондритов Y-82133 H; Y-74417 L; Рагули H; Саратов L; Fucbin L + Бердянск L; Y-74160 LL + Uden LL, соответственно

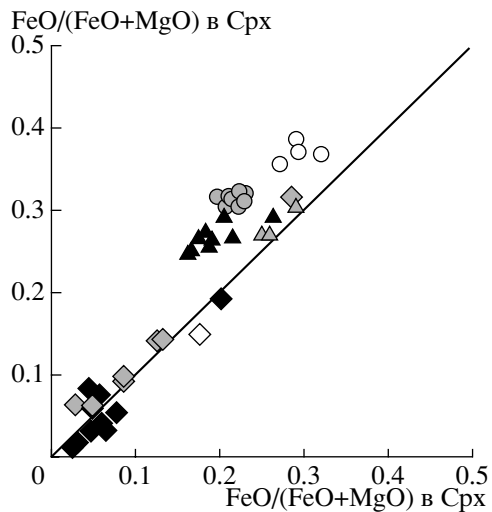


Рис. 2. Соотношение железистости равновесных орто- и клинопироксенов различных магматических фазий H-, L- и LL-хондритов (условные обозначения соответствуют 1–6 на рис. 1).

Таблица 2. Результаты термобарометрического изучения обыкновенных хондритов различных фациальных типов (I, II, III)

Фация	Хондрит	N	<i>T</i> , °C		<i>P</i> , кбар	
			интервал	средняя	интервал	среднее
I	Y-82133 H	12	938–1466	1190	0–15.9	8.4
	Y-74417 L	11	1106–1307	1207	3.6–12.2	7.7
II	Рагули H	11	890–1479	1193	0–13.7	6.0
	Рагули H, Ur-Jd Cpx	4		1000	63.7–81.6	70.1
	Саратов L	5	900–1203	1129	0–14.6	5.9
III	Бердянск L	6	985–1000	993	3.8–5.1	4.5
	Бердянск L, Ur-Jd Cpx	8		1000	66.9–72.8	69.6
	Fucbin L	7	992–1030	1011	3.6–8.3	5.7
	Y-74160 LL	2	1000–1105	1053	3.1–5.0	4.0

Примечание. N – число проанализированных зерен. Температура рассчитана по двупироксеновому геотермометру [13]; Давление рассчитано по клинопироксеновому геобарометру [10]. Составы пироксеновых пар хондрита Y-74160 LLIII(7) взяты из [12].

низких содержаний Al и Ca в пироксенах. В настоящей работе давление формирования магматических парагенезисов каждой фации H-, L- и LL-хондритов определялось по клинопироксеновому геобарометру [10]. Расчет давления по модели [10] основан на зависимости от давления параметров кристаллической решетки кристаллизующихся клинопироксенов (объема ячейки и объема полиэдра M1). Она меньше, чем более ранние модели, зависит от состава расплава и набора существующих минералов. Правомочность применения этой модели для оценки давлений кристаллизации клинопироксенов хондритов подробно обсуждалась в работе [11], где было показано, что в интервале давлений от 0 до 18 кбар сходимость с экспериментальными данными составляет ± 1.13 кбар, при максимальном отклонении 3.86 кбар, т.е. можно заведомо принять за значимые рассчитанные давления > 5 кбар.

Средние значения давления (табл. 2), полученные по клинопироксеновому геобарометру [10] для разных фаций (I, II, III) обыкновенных хондритов химических групп H, L и LL, варьируют от 4 до 8.4 кбар, при этом давление, при котором кристаллизуются клинопироксины в равновесных хондритах фации III, варьирует в более узких пределах 3.1–8.3 кбар, чем в неравновесных хондритах фаций I и II, где оно меняется от 0 до 10.6 кбар. Кроме того, в хондриатах фаций I и II обнаружены единичные зерна клинопироксена, кристаллизующегося при более высоких давлениях (до 16 кбар). В этом проявляется полифациальность стеклосодержащих хондритов, очаги которых более глубинны, чем реальные плутонические породы, представленные на диаграмме (рис. 3) хондриатами Fucbin L(III), Бердянск L(III) и Y-74160 LL(III).

Таким образом, полученные данные однозначно указывают на кристаллизацию клинопироксенов изученных обыкновенных хондритов при давлениях и температурах (900–1500°C), свойственных магматическим породам. Наиболее типичен диапазон давлений от 0 до 10.6 кбар со спорадическим подъемом до 16 кбар.

Дополнительную информацию о давлении при формировании обыкновенных хондритов, помимо полученных данных, дает присутствие в хондриатах I, II и III фаций протопироксена, сама возможность кристаллизации которого ограничивается давлением величиной порядка 8 кбар [5]. Для хондриотов плутонической фации протопироксе-

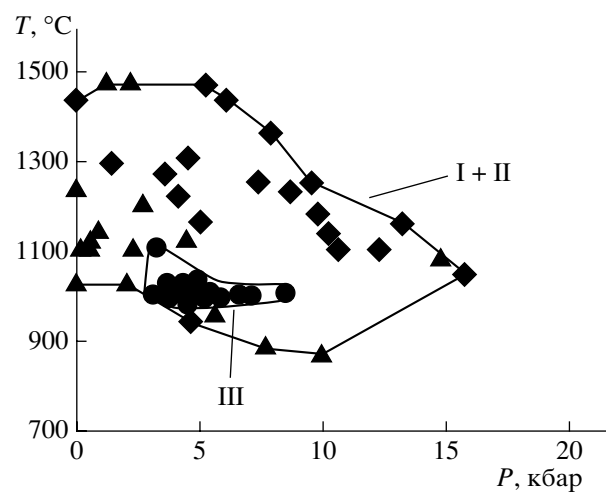


Рис. 3. Сводная диаграмма определения *PT*-параметров кристаллизации обыкновенных хондритов: I – вулканических; II – субвулканических и III – плутонических.

ны менее характерны, что указывает на то, что давление при их образовании превышало 8 кбар.

В обыкновенных хондритах всех трех фаций содержатся реликтовые зерна со структурами распада [1, 15], кристаллизация которых предшествовала формированию силикатов, доминирующих в хондритах. Давление кристаллизации реликтовых зерен жадеит-юриитовых клинопироксенов, рассчитанное по клинопироксеновому барометру [10], достигает 82 кбар (см. табл. 2). Вторая разновидность реликтовых зерен – кремнезем-клинопироксеновые твердые растворы, впервые обнаруженные в обыкновенных хондритах [15], хорошо известны в высокобарных земных породах, где описаны их структуры распада [7]. Экспериментально эти твердые растворы синтезировались [3, 4] при давлениях 35–150 кбар. Находки реликтовых зерен высокобарных минералов свидетельствуют о том, что этапу кристаллизации хондрических расплавов, зафиксированному в структуре хондритов, предшествовала высокобарная кристаллизация (>60 кбар).

Таким образом, результаты термобарометрического изучения обыкновенных хондритов являются важным подтверждением детально обоснованной в [1] теории двухстадийного формирования хондритов. Термобарометрические исследования зафиксированы как условия высокобарной кристаллизации (>60 кбар) на переходе от протопланетной стадии развития к собственно планетной, так и *PT*-условия кристаллизации на собственно планетной стадии, предшествовавшей распаду хондрических планет на астероиды.

Работа выполнена при частичной финансовой поддержке РФФИ (грант 04-05-64880), программы

“Университеты России” и “Поддержка научных школ” (гранты УР.09.02.601/05, НШ-1301.2003.5 и 1645.2003.5).

СПИСОК ЛИТЕРАТУРЫ

1. Маракушев А.А., Грановский Л.Б., Зиновьева Н.Г. и др. Космическая петрология. М.: Наука, 2003. 387 с.
2. Перчук Л.Л. // ДАН. 1977. Т. 233. № 3. С. 456–459.
3. Ханухова Л.Т., Жариков В.А., Ишбулатов Р.А. и др. // ДАН. 1976. Т. 229. № 1. С. 182–184.
4. Angel R.J., Gasparik T., Ross N.L. et al. // Nature. 1988. V. 335. P. 156–158.
5. Gasparik T. // Amer. Miner. 1990. V. 75. P. 1080–1091.
6. Kretz R. // Geochim. et cosmochim. acta. 1982. V. 46. P. 411–421.
7. Liou J.G., Zhang R.Y., Ernst W.G. et al. // Rev. in miner. 1998. V. 37. P. 33–96.
8. Loucks R.R. // Contribs Mineral. and Petrol. 1996. V. 125. P. 140–150.
9. McSween H.Y., Patchen A.D. // Meteoritics. 1989. V. 24. P. 219–226.
10. Nimis P. // Contribs. Mineral. and Petrol. 1999. V. 135. P. 62–74.
11. Pletchov P.Yu., Zinovieva N.G., Latyshev N.P. et al. // Lunar and Planet. Sci. 2005. V. 34. P. 1041.
12. Takeda H., Huston T.J., Lipschutz E. // Earth and Planet. Sci. Lett. 1984. V. 71. P. 329–339.
13. Wells P.R.A. // Contribs Mineral. and Petrol. 1977. V. 62. P. 129–139.
14. Wood B.J., Banno S. // Contribs Mineral. and Petrol. 1973. V.42, P. 109–124.
15. Zinovieva N.G., Mitreikina O.B., Granovsky L.B. // Antarct. Meteorol. 2002. № 27. P. 183–185.